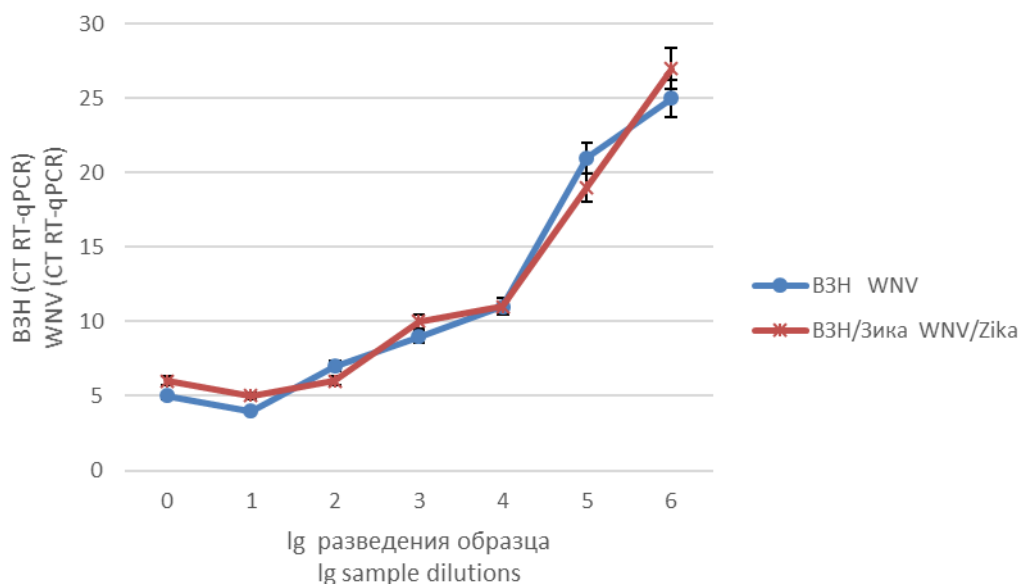


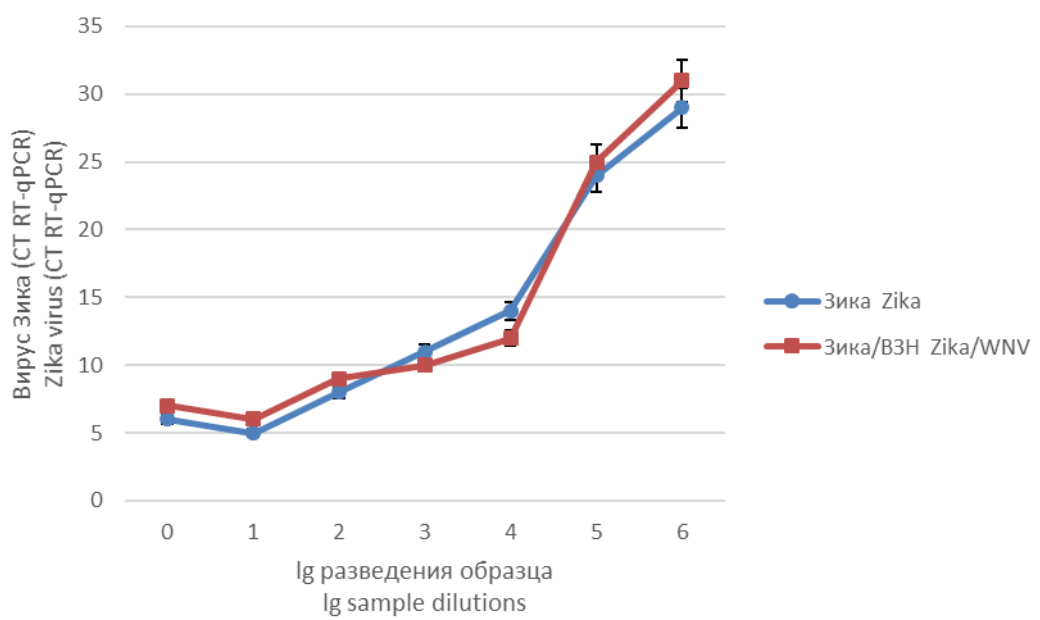
DOI: <https://doi.org/10.36233/0507-4088-324S>

Приложение к статье: Святченко В.А., Протопопова Е.В., Легостаев С.С., Микрюкова Т.П., Агафонов А.П., Локтев В.Б. Моделирование смешанной инфекции вирусами Зика и Западного Нила (Flaviviridae: *Orthoflavivirus*: *Orthoflavivirus zikaense*, *Orthoflavivirus nilense*) *in vitro* и *in vivo*. DOI: <https://doi.org/10.36233/0507-4088-324> EDN: <https://elibrary.ru/gkebwv>

Supplementary to the article: Svyatchenko V.A., Protopopova E.V., Legostae S.S., Mikryukova T.P., Agafonov A.P., Loktev V.B. Modeling of mixed infection with Zika and West Nile viruses (Flaviviridae: *Orthoflavivirus*: *Orthoflavivirus zikaense*, *Orthoflavivirus nilense*) *in vitro* and *in vivo*. DOI: <https://doi.org/10.36233/0507-4088-324> EDN: <https://elibrary.ru/gkebwv>



A)



Б)

Рис. S1. Кинетика Ct RT-qPCR для ВЗН (А) и вируса Зика (Б) в образцах РНК выделенных из вирусных суспензий содержащих 10^6 ТЦД₅₀/мл ВЗН или 10^6 ТЦД₅₀/мл вируса Зика, либо их смеси в зависимости разведения образцов.

Fig. S1. Kinetics of Ct RT-qPCR for WNV (A) and Zika virus (B) in RNA samples isolated from viral suspensions containing 10^6 TCID₅₀/ml WNV or 10^6 TCID₅₀/ml Zika virus, or their mixture depending on the sample dilutions.